

武汉大学出版社

马延高 陈蔚梅 译 卢文筠 校

基因融合技术

基因融合技术

马延高 陈蔚梅 译
卢文筠 校



1995年1月第1版
1995年1月第1次印刷
印数1—10000册
武汉大学出版社

基 因 融 合 技 术

著者：高强
译者：高强

校者：高强

基因融合技术

马延高 陈蔚梅 译

卢文筠 校

*
武汉大学出版社出版

(武昌珞珈山)

新华书店湖北发行所发行

武汉大学印刷厂印刷

*

850×1168毫米 1/32 10.375印张 254千字

1990年6月第1版 1990年6月第1次印刷

印数：1—1000

ISBN 7-307-00749-5/Q·23

定 价：7.00元

译序

分子遗传学是一门年轻而又发展极快的学科，而遗传学实验对于推动分子遗传学的发展及遗传工程的研究，又是一个极为重要的手段。

本书共有 14 个实验，54 个技术方法及 16 则附录。比较详细地介绍了突变体的诱发，分离及特征鉴定。这对于已掌握了由 J. H. Miller 所著分子遗传学实验(即 *Experiments in Molecular Genetics* 1972)原理和基本操作的大学生、研究生及从事分子生物学、分子遗传学研究的科学工作者进一步了解和掌握基因融合技术，在分子水平上解决遗传学问题，无疑是具有极大的参考价值的。为此，我们结合自己的工作，翻译了这本书，献给国内同行。

本书最重要的特点在于理论与实际相结合，把理论阐述与具体实验结合起来，以理论作为实验的指导思想，把实验作为验证理论的手段。使读者有理论和实际知识兼收的效果。

卢文筠教授在百忙中抽出时间审校了全书，在此敬表谢忱。

由于我们水平有限，本书在译校等方面一定存在许多谬误和不足，请予批评指正。

译者 1987.5.
珞珈山

目 录

菌株	(1)
细菌噬菌体	(4)
导论	(11)
实验	(16)
实验 1 以遗传学转座法分离 <i>lacZ</i> 融合体	(16)
实验 2 在质粒上以体外突变或非同源重组法建造 <i>LacZ⁺</i> 蛋白质融合体	(27)
实验 3 在高拷贝数质粒上克隆 <i>lacZ</i> 融合体	(38)
实验 4 利用基因融合和 DNA 杂交技术分析染色体的结构	(44)
实验 5 用重组 DNA 技术构建 λ 转导噬菌体	(50)
实验 6 用 DNA 杂交技术鉴定 λ 转导噬菌体	(54)
实验 7 用遗传学互补法鉴定 λ 转导噬菌体	(58)
实验 8 <i>Tn10</i> 在基因中或其附近的插入突变体的分离	(64)
实验 9 染色体的有目的诱变	(71)
实验 10 染色体缺失突变体的分离	(75)
实验 11 在 λ 转导噬菌体上分离缺失突变体	(83)
实验 12 λ 转导噬菌体的有目的突变	(87)
实验 13 构建遗传图谱	(92)
实验 14 用基因融合法在体外分离特殊的转导噬菌体以确定基因的方向	(96)
方法	(101)
方法 1 2~ml 高滴度 λ 裂解液的制备	(101)
方法 2 噬菌体平板贮液的制备	(102)
方法 3 1-liter 裂解液的制备	(104)

方法 4	由平板贮液或小量裂解液中纯化噬菌体的快速	
方法	(105)
方法 5	λ Int 和 xis 功能的红色空斑试验	(107)
方法 6	λ 溶源菌的筛选	(108)
方法 7	用紫外光诱导 λ 溶源菌	(111)
方法 8	用 Xgal 计数 LacZ ⁺ 噬菌体空斑	(112)
方法 9	原噬菌体缺失突变体中噬菌体基因的检测	(113)
方法 10	P1 vir 裂解液的制备	(115)
方法 11	P1 Tn9clrl00 裂解液的制备	(116)
方法 12	用 P1 vir 作遗传学转导	(117)
方法 13	Mud I (lac, Ap) 裂解液的制备	(118)
方法 14	Mud I (lac, Ap) 的转导作用	(119)
方法 15	Mud I (lac, Ap) 溶源菌转变为 λ 溶源菌	(120)
方法 16	λ cI ⁺ 融合菌向 λ cI ⁺ ts857 溶源菌的转变	(121)
方法 17	Tn10 由 λ NK561 转移到 E.coli 染色体和杂种	
	随机 Tn10 库的制备	(123)
方法 18	染色体缺失突变体的分离和随后的 λ 诱导	(124)
方法 19	用 EDTA 平板选择 λ 缺失突变体	(125)
方法 20	λ 中含有一个 Dam ⁺ 等位基因缺失突变体的分离	(129)
方法 21	亚硝基胍突变	(131)
方法 22	用紫外光突变 λ	(132)
方法 23	噬菌体的超胶诱变	(134)
方法 24	λ 的 mutD 突变	(135)
方法 25	从细菌细胞中抽提 DNA	(137)
方法 26	λ DNA 的大量分离	(140)
方法 27	λ DNA 的快速分离	(142)
方法 28	质粒 DNA 的大量分离	(143)
方法 29	质粒 DNA 的快速分离法	(146)
方法 30	构建 λ 杂种	(151)
方法 31	构建杂种质粒	(153)

方法32	λ 文库的转导	(154)
方法33	根据 CsCl 密度筛选杂种噬菌体	(158)
方法34	制备细菌-DNA 的 <i>Sau</i> 3A 部分降解物	(160)
方法35	利用辅助噬菌体构建 AD60 杂种的溶源性细菌	(164)
方法36	与 λ DamsrI λ 3 共同构建选择的 λ 杂种噬菌体	(165)
方法37	氯化钙处理过的细胞的转化	(167)
方法38	氯化钙处理过的细胞的转染	(168)
方法39	ADNA 的体外包装	(170)
方法40	酚/氯仿抽提 DNA 样品	(174)
方法41	乙醇沉淀DNA	(176)
方法42	DNA 制备的滴透析法	(178)
方法43	DNA 的限制性内切酶酶切及凝胶电泳	(179)
方法44	DNA 吸印转移	(182)
方法45	DNA-DNA 杂交的琼脂糖凝胶的脱水法	(185)
方法46	DNA-DNA 杂交	(187)
方法47	噬菌斑杂交	(191)
方法48	DNA 的缺口转移	(194)
方法49	用 BND-纤维素纯化 DNA	(195)
方法50	微型胶过滤柱的准备	(197)
方法51	核酸酶 BAL-31 酶切	(198)
方法52	SDS 蛋白质抽提物的制备	(201)
方法53	蛋白质的电泳	(202)
方法54	特大细胞：质粒基因的表达	(206)
附录	(208)
附录A	培养基和标准溶液	(208)
附录B	<i>Escherichia coli</i> 的表现型和基因型	(213)
附录C	可转移的遗传元件	(216)
附录D	<i>Escherichia coli</i> 的生长和贮存注意事项	(222)
附录E	λ 生长和贮存注意事项	(224)
附录F	λ 的表现型和基因型	(227)

附录G	噬菌体裂解液的滴定	481(231)
附录H	自发诱导和从溶源性细菌中释放噬菌体	63(233)
附录I	克隆载体的分离·A6	65(236)
附录J	利用重链从一个复制子到另一个复制子的移动突变	66(237)
附录K	基因融合的遗传学鉴定	73(251)
附录L	λ placMu I 的应用	83(253)
附录M	乳糖操纵子	96(258)
附录N	Omp 调节子	103(280)
附录O	麦芽糖调节子	116(283)
附录P	阿拉伯糖调节子	126(285)
文献	288(288)	
英汉名词对照和索引	309(309)	

菌 株

(8016.11.1)

Mycobacterium smegmatis CECT 43

品 系	基因型*	来 源
BHB2688	F ⁻ recA λ(λ Eam4b2 red 3 imm434 c Its Sam 7)	
BHB2690	F ⁻ recA λ(λ Dam15b2 red 3 imm 434 c Its Sam 7)	
KLF41	F'141/leu B6 his G1 recA1 arg G6 metB1 lacY1 gal-6 xyl-7 ml-2 malA1 rpsL104 tonAtsx supE44	
LE30	F ⁻ mutD5 rpsL azi galU95	
LE292	HfrH argEam rpoB galT::(λΔ(int-FII))	
LE392	F ⁻ supF supE hsdR galK trpR metB lacY tonA	
LE392.23	LE392Δ(argF-lac)U169	
MAL103	F ⁻ Δ(spt-proAB-argF-lac)XIII rpsL (Mudi(lac, Ap))(Mucts62)	
MB100	MC4100 ara ⁺ leu ABCD::Tn10	
MB101	MBM7014 φ(arABA'-lacZ ⁺)101(λp1(209))	
MBM7007	F ⁻ araCam araDΔ(argF-lac)U169 trpam malBam rpsL relA thi	
MBM7014	MBM7007 SupF	
MBM7060	MBM7014(λp1048)	
MBM7060 (pMLB952)		
MC1000	F ⁻ araD 139Δ(arabABC-leu)7679 galU galKΔ(lac)X74 rpsL thi	
MC1000 (pMLB524)		

品系	基因型 ^b
MC1000 (pMLb1034)	
MC4100	F ⁻ araD 139Δ(argF-lac)U169rpsL150 relA1 flbB5301 deoC1 ptsF25 rbsR
MC4100 (pRT516)	
MH225	MC4100Φ(ompC'-lacZ ⁺)10-25, [λp1(209)]
MH2101	MH225 ompR 101
MH 2472	MH225 ompR472
MH513	MC4100 ara ⁺ φ(ompF'-lacZ ⁺)16-23, [λp1(209)]
MH5101	MH513 ompR101
MH5473	MH513 envZ473
MH760	MC4100 ompR472
MH1160	MC4100 ompR101
MH1471	MC4100 envZ473
N3098	lig7ts supF
RT3	MC4100 envZ3
RT203	MH225 envZ3
SE3001	MC4100 Δ(malK-lamB)1
SE5000	MC4100 recA56
SG158	MC4100 φ(malP'-lacZ::kan1081.1)1
(pRT516 101) ^c	(λp1(209)c Its857)
SG263	MBM7014 malPQ::Tn10
SG265	F ⁻ Δ(gpt-proAB-argF-lac)X III ara argE amr gyrA rpoB thi supP(P1cry)
SG404	F'141/MC4100asd(p1cam)
SG480 ^d	MC4100Δ(malPQ-bioH-ompB)61
SG608	MH225(λpRT2.3)

品系	基因型 ^a
SG624	MH225 <i>envZ22</i>
SG626	MH225 <i>aroB</i>
SV101	MC4100 <i>malPQ::Tn10</i>
SW101	F ⁺ <i>araD139Δ(araABC-leu)7679 zab::Tn10</i> <i>Δ(argF-lac)U169 rpsL150 relA1</i> ^{杆菌素抗性}
	<i>flbB5301 deoC1 ptsF25 rbsR</i>
TK821	MC4100 <i>ompR331::Tn10</i>
TK827	MH513 <i>ompR331::Tn10</i>
594	<i>rpsL</i>

a 所有的品系均是 *E. coli* K-12 品系

b 融合体

其他菌株

Enterobacter cloacae ^{耐药性}
Klebsiella pneumoniae ^{耐药性}
proteus mirabilis ^{耐药性}
Salmonella typhimurium LT2 ^{耐药性}
Serratia marcescens ^{耐药性}
Shigella SP. ^{耐药性}

Escherichia coli K-12 Δ⁺ *araBAD* ^{耐药性}
Escherichia coli K-12 Δ⁺ *araBAD* ^{耐药性}

细菌 噬 菌 体

1978-9-15-1978-9-15

细菌噬菌体及其基因型^a

B10	λ : <i>mm21cI</i>
B17	λ : <i>int6 red3 imm21cI</i>
B500	λ : <i>h80 imm21c</i>
G6	λ : <i>imm434 cI</i>
G216	λ : <i>b2 imm 434 cIts</i>
G244	λ : <i>b538 imm 434 cISam7</i>
Y1	λ : <i>cIts 857 cI ind</i>
Y2	λ : <i>b2 cIts 857</i>
Y47	λ : <i>cIts 857 Sam7</i>
Y2223	λ : <i>Wam 403 cIS857</i>
W14b	λ : <i>v₂ v₁ v₃</i>
W30	λ : <i>b2 cI</i>
W248	λ : <i>h80 Δ(att-int)g-r cI</i>
λ :NK561	λ : <i>b221 cI::Tn10 Oam29 Pam80</i>
λ : <i>p1(209)^e</i>	
λ : <i>placMu1^d</i>	
λ : <i>pMu507</i>	λ : <i>cIts 857 Sam7 MuA⁺B'</i>
λ : <i>p10-25</i>	λ : <i>φ(ompC'-lacZ⁺)10-25</i>
λ : <i>p16-13</i>	λ : <i>φ(ompF'-lacZ⁺)16-13</i>
λ : <i>TK10</i>	λ : <i>φ(ompR'-lacZ)hyb 1</i>
λ : <i>pSG1</i>	λ : <i>p1(209) lacY::Tn9</i>
λ : <i>D69</i>	λ : <i>bamλ 10Δ(srIλ1-srIλ2)</i> <i>imm21 nin5 shn6^g</i>

细菌噬菌体	基因型 ^a
$\lambda pRT2$	$\lambda D69 \text{bam}\lambda 3::(envZ^+\text{ompR}^-)$
$\lambda pSG10$	$\lambda D69 \text{bam}\lambda 3::(\text{ompR}^-)$
$\lambda pSG11$	$\lambda pSG10h80$
$\lambda pSG517^e$	$\lambda pRT2 \Delta(\text{ompR})517$
$\lambda pRT2-80$	$\lambda pRT2h80$
$\lambda pRT2.3$	$\lambda pRT2envZ3$
$\lambda pRT2.101$	$\lambda pRT2 \text{ompR}101$
$\lambda DamsrI\lambda 3$	$\lambda Dam15b538 cIts857$
	$srI\lambda 1^o \text{nins } srI\lambda 5^o$
$\lambda pRT1imm434$	$\lambda Dam \text{srI}\lambda 3::(\text{ompR}^+)imm434$
$\lambda NF1955^f$	$\lambda NF1955 \Phi(\text{tryT}' - \text{lacY}')$
$\lambda p1048^g$	$\lambda NF1955 \Phi(\text{tryT}' - \text{lacY}')$
$\lambda p1081.1^h$	
$\lambda apmalB13^i$	$\lambda malG^+ F^+ E^+ K^+ lamB'h80$
	$cIts857 Sam7$
$hy2j$	$\lambda hPA-2 imm\lambda vir$
$K20^k$	
$MudI(lac \cdot Ap)l$	
$p1vir$	$p1 vir$
$p1cam$	$p1::Tn9clrl00$
$\phi 80vir$	$\phi 80vir$
$\phi 80psuIII$	$\phi 80psupF^+$

- a. 除非另有说明，所有融合转导噬菌体均是 $\lambda p1(209)$ 的衍生物（见实验 8 图 7）
- b. λvir
- c. 见实验 8 图 7
- d. 见附录 L 图 28
- e. 见实验 13 图 15

f. 见附录I 图24

g. 见实验2和Berman 和 Jackson (1984)

h. 见实验10, 图23

i. 见 Marchal 等人(1978)

j. hy2的受体是 OmpC

k. K 20的受体是 OmpF

l. 见实验1 图1

革兰阴性菌

ST43

9029

11029

97362

6874

СТЯД

СТЯД

10115769

САМПА

Staphylococcus

10201

ST43

97362

97362

САМПА

10201

ST43

Staphylococcus

97362

10201

97362

97362

革兰阳性菌

平板1

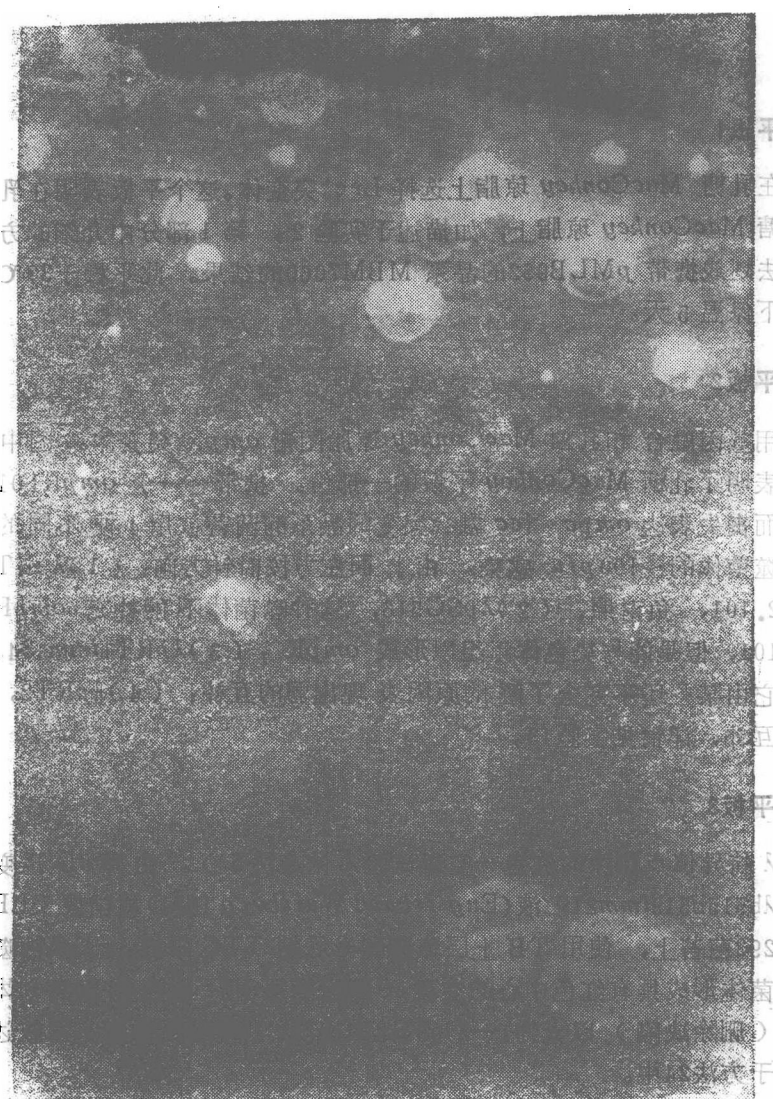
在乳糖 MacConkey 琼脂上选择 Lac^r突变体。这个平板展示了在乳糖 MacConkey 琼脂上，如描述于实验 2 第 1 部分中介绍的方法划线携带 pMLB952 的品系 MBM7060 的结果。此平板于 37°C 下保温 5 天。

平板2

用基因融合 和乳糖 MacConkey 琼脂图谱 *ompR* 突变体。图中表明了乳糖 MacConkey 平板的一部份。携带有 1 个 *ompR101* 而丧失表达 *ompC-lac* 融合突变的品系的菌苔被用 4 种不同的噬菌体的 ~100 pfu 感染。由上面左方按时针方向：(1) $\lambda pRT2.101$, 负对照; (2) $\lambda pSG518$, 这种噬菌体不能补充 *ompR101*, 但是能与染色体重组以形成 *ompR'*; (3) $\lambda pRT1imm434$, 它由某些还不完全了解的原因表现出弱的互补; (4) $\lambda pRT2$, 互补, 详情见实验 13。

平板3

λ 特异位点融合的红色—空斑试验（见方法 5）。由 *mutD* 诱变 $\lambda b515b519imm21$ 噬菌 (Engvild and Weisberg 1971) 增殖放于 LE 292 菌苔上，使用 LB 上层琼脂和半乳糖 TCA 培养。大多数噬菌体形成具有红色中心的空斑（删除握手）。白色空斑突变体（删除缺陷）以大约 1—2% 的比率出现。（参见一节方案叙述于方法 24 中。）



平板 1



第
九

9